

Cr(VI)-헤테로고리 착물[Cr(VI)-2-methylpyrazine]를 이용한 치환 벤질 알코올류의 산화반응과 메카니즘에 관한 연구

김영식¹, 박영조^{1*}

¹강원대학교 화학공학과

A Study for Mechanism and Oxidation Reaction of Substituted Benzyl Alcohols using Cr(VI)-Heterocyclic Complex[Cr(VI)-2-methylpyrazine]

Young-Sik Kim¹ and Young-Cho Park^{1*}

¹Department of Chemical Engineering, Kangwon National University

요 약 Cr(VI)-헤테로고리 착물[Cr(VI)-2-methylpyrazine]를 합성하여, 적외선 분광광도법(IR), 유도결합 플라즈마(ICP) 등으로 구조를 확인하였고, 여러 가지 용매 하에서 Cr(VI)-2-methylpyrazine를 이용하여 벤질 알코올의 산화반응을 측정한 결과, 유전상수(ϵ) 값이 큰 용매 순서인 시클로헥센 < 클로로포름 < 아세톤 < N,N-디메틸포름아미드 용매 하에서 높은 산화반응성을 보였다. 산 촉매(HCl)를 이용한 DMF 용매 하에서 Cr(VI)-2-methylpyrazine은 벤질 알코올(H)과 그의 유도체들(p-CH₃, m-Br, m-NO₂)을 효과적으로 산화시켰다. 전자반개 그룹들은 반응 속도가 감소한 반면에 전자주개 치환체들은 반응속도를 증가시켰고, Hammett 반응상수(ρ) 값은 Cr(VI)-2-methylpyrazine= -0.65(308K) 이었다. 본 실험에서 알코올의 산화반응 과정은 먼저 크로메이트 에스테르 형성과정을 거친 후, 속도결정단계에서 수소화 전이가 일어나는 메카니즘임을 알 수 있었다.

Abstract Cr(VI)-heterocyclic complex[Cr(VI)-2-methylpyrazine] was synthesized by the reaction between of heterocyclic compound(2-methylpyrazine) and chromium trioxide, and characterized by IR and ICP analysis. The oxidation of benzyl alcohol using Cr(VI)-2-methylpyrazine in various solvents showed that the reactivity increased with the increase of the dielectric constant(ϵ), in the order : cyclohexene<chloroform<acetone <N,N-dimethylformamide(DMF). In the presence of DMF solvent with acidic catalyst such as hydrochloric acid(HCl solution), Cr(VI)-2-methylpyrazine oxidized benzyl alcohol(H) and its derivatives(p- CH₃, m-Br, m-NO₂). Electron-donating substituents accelerated the reaction, whereas electron acceptor groups retarded the reaction. The Hammett reaction constant(ρ) was Cr(VI)-2-methylpyrazine= -0.65(308K). The observed experimental data have been rationalized. The hydride ion transfer causes the prior formation of a chromate ester in the rate-determining step.

Key Words : Chromate ester, Hydride ion transfer, Hammett reaction constant(ρ), Rate-determining, Step-substituted benzyl alcohol.

1. 서 론

Cr(VI)-유도체들이 유기화합물의 산화제로 널리 이용

되어 왔으나, 이 시약들은 일차 알코올의 산화제로 사용했을 경우에 생성되는 알데히드가 더욱 산화되어 카르복시산이 되므로 유기성인 순수 알데히드를 얻기가 힘들다.

*Corresponding Author : Young-Cho Park(Kangwon National Univ.)

Tel: +82-10-8799-0255 email: youngjop@hanmail.net

Received August 14, 2013

Revised (1st October 21, 2013, 2nd November 1, 2013, 3rd November 6, 2013)

Accepted November 7, 2013

Cr(VI)-계열의 시약은 보통 수용성이며 유기용매에 불용성이어서 산화반응을 수용액에서 수행해야 하는 용매의 선택에 제한점이 있고, 알데히드를 얻기에 많은 난점이 있다. 또한 반응이 쉽게 분해되어 정확한 메카니즘은 아직도 분명치가 않다. 그러므로 유기 용매에 잘 용해되고, 일차 알코올을 알데히드까지만 산화시키는 산화제의 합성과 그에 따르는 메카니즘 규명이 필요하게 되었다.

다른 한편으로는 한 분자 내에 여러 가지 hydroxy group이 존재할 때, 특정 hydroxy group만을 선택적으로 산화시키는 산화제에 대해서도 연구가 이루어지고 있다.(quinolinium dichromate, pyrazinium-N-oxide chlorochromate, tripyridin-ium hydrochloride chlorochromate, naphthyridinium dichromate, pyridinium chlorochromate, bipyridinium chlorochromate)[2-7,8,11].

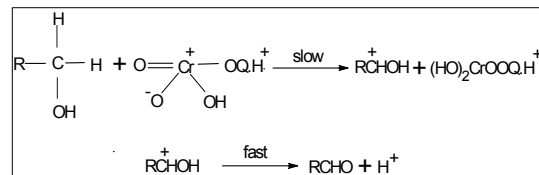
그러므로 유기합성 과정에서 한 분자 내에 여러 가지 hydroxy group(benzylic, allylic, primary, secondary)이 존재하고 있을 때, 특정 hydroxy group만을 선택적으로 carbonyl compound로 전환시키는 산화제와 그에 따르는 메카니즘 규명이 필요하다.

Cr(VI)-계열의 시약을 이용한 보고된 연구를 보면 Banerji 등[1,2]은 pyridinium chlorochromate (Corey's reagent)에 의한 glycolic, lactic 및 α -hydroxybutyric acid 등의 산화에 대한 속도를 연구하였을 뿐만 아니라 과염소산 존재 하에서 아세트산-물 혼합 용매에서 에틸클로로카바메이트를 이용하여 벤질 알코올류의 산화에 대한 반응속도론적 연구를 보고하였다. Mahanti 등[3-6]은 quinolinium dichromate(Q)를 이용하여 벤질 알코올류를 산화 반응시켜 예상되는 두 가지 반응경로의 메카니즘 (Scheme I, Scheme II)을 그림 1에 제시하였다. 보고한 반응경로의 메카니즘을 고찰해보면, Scheme I에서는 알코올과 크롬산이 반응할 때, 속도결정단계에서 양성자(H^+) 전이가 직접적으로 일어나므로 활성화 상태에서 알코올의 α -위치 탄소에 양이온의 생성되는 경로이고, Scheme II에서는 알코올과 크롬산이 반응할 때 크로메이트 에스테르(chromate ester)가 먼저 형성된 후 활성화 상태에서 산화제의 γ -위치인 Cr(VI)에 양이온이 생성된다.

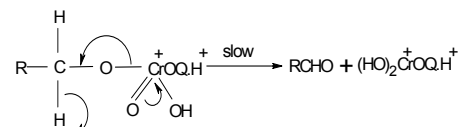
본 실험에서는 유기합성 과정에서 응용범위가 넓고 안정한 알코올류의 산화제를 개발하기 위하여, Cr(VI)-헵테로고리 착물 계열인 Cr(VI)-2-methylpyrazine을 합성하여, 적외선분광도법(IR), 원소분석 등으로 구조를 확인하였다.

또한 산화반응의 최적 조건을 찾기 위하여 여러 가지 용매 하에서 Cr(VI)-2-methylpyrazine을 이용한 벤질 알코올의 산화 반응성을 조사하였다. 그리고 Cr(VI)-2-methylpyrazine을 이용하여 벤질 알코올(H)과

그의 유도체들(p-CH₃, m-Br, m-NO₂)의 산화반응 속도 실험을 통하여 열역학적 성질(ΔH^\ddagger , ΔS^\ddagger , ΔG^\ddagger)과 치환기 효과에 따른 Hammett 반응상수(ρ) 값 등에서 산화반응 과정의 메카니즘을 고찰하였다.



Scheme I



Scheme II

[Fig. 1] Mechanism of the oxidation of substituted benzyl alcohols by quinolinium dichromate

2. 실험

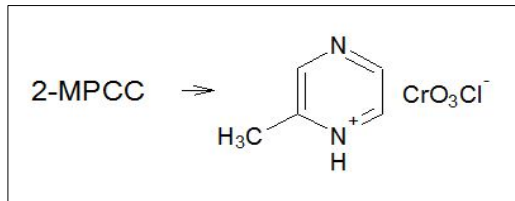
2.1 시약 및 분석기기

실험에 사용한 2-methylpyrazine 염산(HCl), chromium(VI)trioxide, 치환 벤질 알코올류(p-CH₃, H, m-Br, m-NO₂), 알데히드류, N,N'-디메틸포름아미드 (DMF) 등은 Aldrich 사의 HPLC급 시약을 사용하였다. 녹는점 측정은 Electrothermal 1A 8103 측정기기를 사용하여 3회 측정하여 그 평균값을 취하였다. Cr 정량은 ICP-IRIS(Thermo Jarrell Ash, USA)를 사용하였고, C, H, N, O 함량은 elemental analysis(Vario E L: Germany), FT-IR 측정은 ATI-Mattson 사의 Research series 1을 사용하여 측정 하였다. 흡광도 측정은 UV-Visible spectrophotometer(Hewlett Packard UV-8452A)로 absorption band(λ_{max}) 455 nm에서 측정하였다. GC-FID(Variian 3400) 측정은 capillary column : DB-5(30m×0.253mm), DB-WAX (30m×0.253mm), DB-1(30m×0.253mm), carrier gas로는 N₂를 사용하여 측정하였다.

2.2 크롬(VI)-헵테로고리 착물[Cr(VI)-2-methylpyrazine]의 합성

6M-HCl 용매 하에서 chromium(VI)trioxide, 5.00×10²mole을 녹인 다음 ice bath에서 5°C 이하로 유지하면

서 2-methylpyrazine을 5.00×10^{-2} mole을 서서히 가하면서 교반시켜 생성된 결정을 물에서 재결정한 후, 데시케이터에서 충분히 건조시켜 황색 고체인 Cr(VI)-2-methylpyrazine [$C_5H_6N_2H \cdot CrO_3Cl$]= 54%를 얻었고, 녹는점은 148-150°C 이였다[7-9]. 그 구조식은 그림 2에 나타내었다. 녹는점 측정은 Electrothermal 1A 8103 측정기기를 사용하여 3회 측정하여 그 평균값을 취하였다. 보고된 문헌[7,8]에서 본 실험과 유사한 Cr(VI)-착물[($C_8H_6N_2H_2Cr_2O_7$)인 경우 녹는점은 140-142°C을 보였다.



[Fig. 2] Cr(VI)-2-methylpyrazine[$C_5H_6N_2HCrO_3Cl$]

2.3 여러 가지 용매 하에서 Cr(VI)-2-methylpyrazine를 이용한 벤질 알코올의 산화반응 측정

Cr(VI)-2-methylpyrazine 2.00×10^{-2} mole과 벤질 알코올 1.00×10^{-2} mole을 취하여 실온에서 시클로헥센, 1,4-디옥산, 사염화탄소, 클로로포름, 디클로로메탄, 아세톤, DMF 등의 용매 5mL에 각각 반응시켰다. 최대 수율치가 일정함을 보일 때까지를 반응종료 시간으로 하여 GC로 수율을 구하였다[4-6,11].

Column: DB-5, DB-WAX, DB-1

Temp: 40°C-80°C, 10°C/min(FID)

Flow rate: N₂(7mL/min)

2.4 산 촉매 존재 하에서 온도변화에 따른 Cr(VI)-2-methylpyrazine를 이용한 치환 벤질 알코올류의 산화반응속도 측정

Cr(VI)-2-methylpyrazine 1.00×10^{-3} mole가 함유된 DMF(5mL) 용매 하에서 온도변화(303K, 308K, 313K)에 따라 치환 벤질 알코올류(p-CH₃, H, m-Br, m-NO₂)각각을 1.00×10^{-1} mole 첨가한 후, 용액 전체에 산 촉매(HCl) 농도가 5.00×10^{-2} mole 되게 신속하게 가한 다음, 시간에 따라 감소하는 흡광도 변화를 측정하였다[4-7, 10, 12, 13]. 흡광도 값은 최대흡수 파장(λ_{max}) 455nm에서 산화제가 활성되는 부분을 택하였다. 그리고 속도상수(k) 값은 시간에 따른 log[Cr(VI)-2-methylpyrazine]를 도시하여 구하였다. 이 속도상수 값으로부터 ΔH^\ddagger , ΔS^\ddagger , ΔG^\ddagger 와 Hammett 반응상수(ρ) 값을 계산하였다[14-16].

2.5 활성화 파라미터 계산

Arrhenius 식[17-21] $k = A \cdot e^{-\frac{E_a}{RT}}$ 에 자연대수를 취하면 다음과 같다.

$$\ln k = -\frac{E_a}{RT} + \ln A \quad (1)$$

식 (1)으로부터 1/T에 대해 ln k를 도시하면 그 기울기로부터 활성화 에너지 Ea를 구할 수 있다. 그리고 활성화 엔탈피와 활성화 엔트로피는 임의의 두 온도 T_i와 T_j에서의 Eyring 속도식 (2)와 식 (3)을 아래와 같이 나타낼 수 있다.

$$k_i = \frac{KT_i}{h} e^{-\frac{\Delta S^\ddagger}{R}} \cdot e^{-\frac{\Delta H^\ddagger}{RT_i}} \quad (2)$$

$$k_j = \frac{KT_j}{h} e^{-\frac{\Delta S^\ddagger}{R}} \cdot e^{-\frac{\Delta H^\ddagger}{RT_j}} \quad (3)$$

여기서 K는 Boltzmann 상수이고, h는 Plank 상수이다. 식 (2)와 식 (3)을 연립으로 풀면,

$$\Delta H^\ddagger = \frac{RT_iT_j}{T_j - T_i} \ln \frac{k_j T_i}{k_i T_j} \quad (4)$$

$$\Delta S^\ddagger = \frac{R}{T_i - T_j} \ln \left(\frac{\frac{k_i}{T_i}}{\frac{k_j}{T_j}} \right)^{\frac{T_i}{T_j}} - R \ln \left(\frac{K}{h} \right) \quad (5)$$

식 (4)와 식 (5)에서 ΔH^\ddagger 와 ΔS^\ddagger 를 구하였으며, 활성화 자유에너지(ΔG^\ddagger)는 식 (6)으로부터 구할 수 있다.

$$\Delta G^\ddagger = \Delta H^\ddagger - T \Delta S^\ddagger \quad (6)$$

이 때 T는 T_i와 T_j의 평균값이다.

2.6 Hammett 반응상수 계산

많은 m-및 p-치환 벤젠 유도체들의 다양한 반응에 직선관계가 정립되어 있다 하더라도 새로운 반응, 새로운 경우를 대할 때에도 실제로 응용할 수 있는 간단한 정량적인 관계식이 필요하다. 이에 대한 해결책이 Hammett[17-21]에 의하여 제시 되었다. 제시된 Hammett 방정식을 적용하여 볼 때, 어떠한 치환기에 대해서나 $\log k_X/k_H$ 값이 치환기 상수(σ_X)로 정의되며, 여기서 k_X는 벤질알코올의 치환체에 대한 속도상수이며, k_H는 벤질알코올에 대한 속도상수이다. 따라서 Hammett 반응상수(ρ)를

식 (7)과 식 (8)같이 정의할 수 있다.

$$\log k_X / k_H = \rho \sigma_X \quad (7)$$

$$\rho = \frac{\log k_X / k_H}{\sigma_X} \quad (8)$$

3. 결과 및 고찰

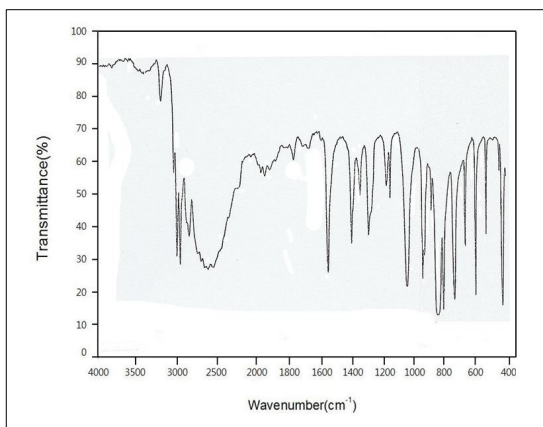
3.1 크롬(VI)-헥테로고리 착물[Cr(VI)-2-methylpyrazine] 합성에 대한 고찰

Cr(VI)-2-methylpyrazine의 적외선 스펙트럼은 그림 3에 나타내었다.

Cr(VI)-2-methylpyrazine[C₅H₆N₂HCrO₃Cl]의 적외선 스펙트럼을 고찰해보면, $\nu_{asym}(Cr-O)$: 950, 930cm⁻¹, $\nu_{sym}(Cr-O)$: 900cm⁻¹, $\nu(Cr-Cl)$: 430cm⁻¹, $\nu(N-H)$: 3450cm⁻¹, $\nu(C-H)$: 3050cm⁻¹, $\nu(C=C)$: 1600cm⁻¹, $\nu(N-H)$: 1540cm⁻¹, $\nu(C-H)$: 1400cm⁻¹, $\nu(C-N)$: 1200cm⁻¹ 흡수 peak가 나타났다 [7,8].

원소분석 결과는 표 1에 나타내었다. 원소분석에서 이론값과 측정값이 잘 일치함을 보였다.

결과적으로 본 실험과 유사한 Cr(VI)-착물[7,8]의 적외선 스펙트럼(IR)과 원소분석을 비교해본 결과 잘 일치하였고, 참고문헌[7-8] 값 등으로부터 고찰해본 결과 착물이 합성됨을 확인하였다.



[Fig. 3] IR spectrum of Cr(VI)-2-methylpyrazine [C₅H₆N₂HCrO₃Cl]]

[Table 1] Elemental analysis of Cr(VI)-2-methyl-pyrazine

Complex	Elemental				
	C	H	N	O	Cr
Calculated C ₅ H ₆ N ₂ H- CrO ₃ Cl	26.05%	3.06%	12.15%	36.24%	22.50%
Found	26.32%	3.37%	12.29%	35.39%	22.55%

3.2 여러 가지 용매 하에서 Cr(VI)-2-methylpyrazine를 이용한 벤질 알코올의 산화반응성 고찰

시클로헥센, 1,4-디옥산, 사염화탄소, 클로로포름, 디클로로메탄, 아세톤, DMF등의 용매 하에서, Cr(VI)-2-methylpyrazine를 이용하여 벤질 알코올을 각각 산화반응 시켰다. 생성된, 알데히드의 수율을 GC로 분석하여, 최대 수율치가 일정함을 보일 때까지를 반응종료 시간으로 하여 GC로 수율을 구하였다 표 2에 나타내었다. 그리고 GC 크로마토그램에서 벤즈알데히드 표준물질과 벤질 알코올의 산화반응시 생성되는 벤즈알데히드를 비교하였다. Cr(VI)-2-methylpyrazine은 1,4-디옥산, 시클로헥센 등에는 용해되지 않았고, 클로로포름, 아세톤, 디클로로메탄 등에는 일부가 용해되었고, N,N'-디메틸포름아미드 등에는 모두 용해되었다. 시클로헥센<클로로포름<아세톤<DMF 용매 순으로 높은 산화반응성을 보였다.

최대 수율치가 일정함을 보일 때까지를 반응종료 시간으로 하여 GC로 수율을 구하였다

[Table 2] Summarized results of oxidation of benzyl alcohol using Cr(VI)-2-methylpyrazine in various solvents^{a)}

Solvents	ϵ^b at 25°C	Yield of benzaldehyde (%) ^{c)}	Time(h)
cyclohexene	2.22	32	1.6
1,4-dioxane	2.21	36	2.0
carbon tetrachloride	2.24	57	1.7
chloroform	4.81	85	2.2
dichloromethane	8.93	87	2.1
acetone	20.70	91	1.7
N,N'-dimethylformamide	37.00	94	2.2

a) Benzyl alcohol(1.00×10^{-2} mole) and Cr(VI)-2-methylpyrazine (2.00×10^{-2} mole) were combined in various solvents and then the mixtures were stirred at room temperature.

b) Dielectric constant.

c) Yields were calculated on the basis of GC data.

3.3 산 촉매 존재하에서 온도변화에 따른 Cr(VI)-2-methylpyrazine를 이용한 치환 벤질 알코올류의 산화반응속도 측정 고찰

DMF 용매하에서 Cr(VI)-2-methylpyrazine를 이용하여 치환된 벤질 알코올류(p-CH₃, H, m-Br, m-NO₂)를, 산(HCl) 촉매를 첨가하여 온도변화(303K, 308K, 313K)에 따라 각각 반응시켜 속도상수를 구하였고, 치환 벤질 알코올류의 농도를 산화제의 농도에 비하여 과량으로 취하여 유사일차 반응으로 진행시켰다. 이 속도상수(k) 값으로부터 열역학적 활성화 파라미터(ΔH^\ddagger , ΔS^\ddagger , ΔG^\ddagger)값과 치환기 효과에 따른 Hammett 반응상수(ρ) 값을 계산하였다.

표 3와 표 4에서 나타낸 바와 같이 산 촉매를 첨가한 경우, k 값은 온도가 증가함에 따라 증가하였고, 치환기 효과는 전자를 주는 치환기 p-CH₃에서 k 값이 증가하였다. 또한 ΔH^\ddagger 가 양의 값을, ΔS^\ddagger 가 음의 값을 나타낸 것으로 보아, 산화반응 과정에서 전자를 주는 치환기가 있을 경우, 반응물보다 전이상태인 활성화 착물에서 더 안정화됨을 알 수 있었다. 그리고 ΔG^\ddagger 가 일정한 양의 값을 보였다.

[Table 3] Rate constants for the oxidation of substituted benzyl alcohols^{a)} using Cr(VI)-2-methylpyrazine^{b)} in the presence of acid[HCl]^{c)}

Substituents	Rate constant10 ⁵ k (s ⁻¹)		
	303K	308K	313K
p-CH ₃	6.01	7.82	8.19
H	5.05	4.65	6.22
m-Br	2.99	2.96	3.85
m-NO ₂	2.08	2.33	3.04

a)1.00×10⁻¹mole. b)1.00×10⁻³mole. c)5.00×10⁻²mole.

[Table 4] Activation parameters for the oxidation of substituted benzyl alcohols in Table 3

Substituents	Activation parameters		
	ΔH^\ddagger (kJmol ⁻¹)	ΔS^\ddagger (Jmol ⁻¹ K ⁻¹)	ΔG^\ddagger (kJmol ⁻¹)
p-CH ₃	26.89	-236	101.634
H	31.24	-227	101.257
m-Br	36.79	-234	101.154
m-NO ₂	39.97	-222	102.937

또한 표 5와 표 6에서 산 촉매를 첨가하지 않은 경우, 산 촉매를 첨가했을 때와 비교해보면, p-CH₃에서 k 값이 감소하였고, 전자를 받는 치환기 m-Br, m-NO₂에서 k 값이 조금 증가한 것으로 보아, 속도결정단계에서 산 촉매

의 존재가 촉매 작용으로 산화반응 속도를 촉진시키는 역할을 한 것으로 생각된다.

[Table 5] Rate constants for the oxidation of substituted benzyl alcohols^{a)} using Cr(VI)-2-methylpyrazine^{b)}

Substituents	Rate constant10 ⁵ k (s ⁻¹)		
	303K	308K	313K
p-CH ₃	4.08	4.93	5.57
H	3.76	4.39	4.34
m-Br	3.01	3.12	3.95
m-NO ₂	2.58	2.79	3.24

a)1.00×10⁻¹mole. b)1.00×10⁻³mole.

[Table 6] Activation parameters for the oxidation of substituted benzyl alcohols in Table 5

Substituents	Activation parameters		
	ΔH^\ddagger (kJmol ⁻¹)	ΔS^\ddagger (Jmol ⁻¹ K ⁻¹)	ΔG^\ddagger (kJmol ⁻¹)
p-CH ₃	18.12	-259	101.954
H	17.97	-251	102.890
m-Br	19.98	-247	103.120
m-NO ₂	21.93	-220	104.374

그러나 표 7와 표 8에서 산 촉매를 첨가하지 않고 산화제의 농도를 높인 경우, p-CH₃와 m-Br, m-NO₂에서 k 값이 산화제의 농도가 낮을 때와 크게 차이가 없는 것으로 보아 산화제의 농도가 산화반응 속도에 거의 영향을 미치지 않은 것으로 생각된다.

[Table 7] Rate constants for the oxidation of substituted benzyl alcohols^{a)} using Cr(VI)-2-methylpyrazine^{b)}

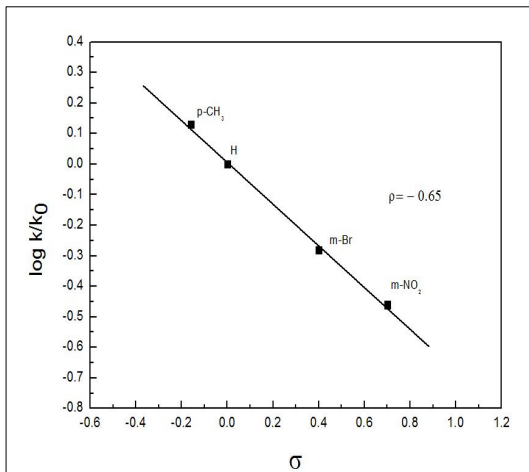
Substituents	Rate constant10 ⁵ k (s ⁻¹)		
	303K	308K	313K
p-CH ₃	4.89	4.79	5.39
H	3.25	3.98	5.06
m-Br	3.02	3.07	4.69
m-NO ₂	2.55	2.62	3.56

a)1.00×10⁻¹mole. b)3.00×10⁻³mole.

[Table 8] Activation parameters for the oxidation of substituted benzyl alcohols in Table 7

Substituents	Activation parameters		
	ΔH^\ddagger (kJmol ⁻¹)	ΔS^\ddagger (Jmol ⁻¹ K ⁻¹)	ΔG^\ddagger (kJmol ⁻¹)
p-CH ₃	20.13	-240	102.468
H	23.07	-251	103.273
m-Br	23.91	-217	103.824
m-NO ₂	25.28	-227	104.572

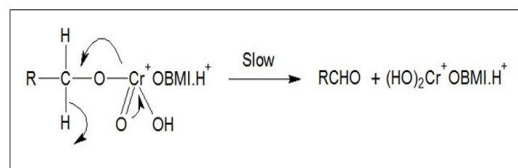
속도 자료를 이용한 Hammett 도시로부터 구한 반응상수 값을 고찰해 보면, 그림 4에서 나타낸 바와 같이 산 촉매를 첨가한 경우 ρ 값은 -0.65로 나타났다. 그러나 산 촉매를 첨가하지 않은 경우 표 5에서 구하면 ρ 값은 -0.28로 감소하였다. 산 촉매를 첨가했을 경우 음의 ρ 값이 증가한 원인은 알코올과 크롬산이 산화반응 과정에서 크로메이트 에스테르 형성이 일어날 때, 산 촉매 존재에서 양성자가 첨가로 인해, Cr(VI)에 양이온을 안정화시켜 주는 역할을 하였기 때문이다. 이러한 결과로 치환된 벤질 알코올류에 따라 k 값의 차이가 커짐으로 인하여 $-\rho$ 값이 증가하였다. 그러나 산 촉매를 첨가하지 않고 산화제의 농도를 높인 경우 표 7에서 구하면 ρ 값은 -0.28로 나타났다. 산 촉매를 첨가하지 않고 산화제 농도가 낮은 경우 차이가 없는 것으로 보아, k 는 산화제의 농도에 의존하지 않음을 알 수 있었다.



[Fig. 4] The Hammett plot for the oxidation of substituted benzyl alcohols^{a)} by Cr(VI)-2-methylpyrazine^{b)} in the presence of acid [HCl]^{c)} at 308K. a) 1.00×10^{-1} mole. b) 1.00×10^{-3} mole. c) 5.00×10^{-2} mole.

그러므로 본 실험결과를 통하여 Mahanti 등[4-7]이 보고한 그림 1에서 메카니즘을 고찰해보면, Scheme I에서는 알코올과 크롬산이 반응할 때, 속도결정단계에서 수소화전이가 직접적으로 일어나므로 활성화 상태에서 알코올의 α -위치 탄소에 양이온의 생성되는 경로로 높은 $-\rho$ 값이 예상된다. 그러나 Scheme II에서는 알코올과 크롬산이 반응할 때 크로메이트 에스테르가 먼저 형성된 후 활성화 상태에서 산화제의 γ -위치인 Cr(VI)에 양이온이 생성되므로 치환기 효과가 적어 낮은 $-\rho$ 값이 예상된다. 그러므로 보고된 문헌의 $\rho=1.71$ 값에 비해, 본 실험에서

얻은 $\rho=-0.65$ 값이 더 낮은 음에 값이 나타났고, 산 촉매를 첨가시키지 않은 경우 더욱 낮은 $\rho=-0.28$ 값이 나타났다. 이러한 결과들을 볼 때, 그림 5에서와 같이 Cr(VI)-2-methylpyrazine와 알코올의 산화반응 과정에서 먼저 크로메이트 에스테르 형성과정을 거친 후, 속도결정단계에서 수소화 전이가 일어나는 메카니즘으로 예상 된다.



[Fig. 5] Mechanism of the oxidation of substituted benzyl alcohols by BMI[Cr(VI)-2-methylpyrazine]

4. 결 론

유기합성 과정에서 응용범위가 넓고 안정한 알코올류의 산화제를 개발하기 위하여, Cr(VI)-헥테로고리 착물인 Cr(VI)-2-methylpyrazine를 합성하여 구조를 확인하였다.

또한 여러 가지 용매 하에서 Cr(VI)-2-methylpyrazine과 벤질 알코올의 산화반응성을 조사하였다.

그리고 산 촉매 존재 하에서 온도변화에 따른 Cr(VI)-2-methylpyrazine을 이용한 치환 벤질 알코올류의 산화반응속도 측정 실험을 하였다.

이상과 같은 실험에서 다음과 같은 결론을 얻었다.

1. 여러 가지 용매 하에서 Cr(VI)-2-methylpyrazine과 벤질 알코올의 산화반응을 측정한 결과 시클로헥센<클로로포름<아세톤<DMF 용매 하에서 높은 산화반응성을 보였다.
2. 산 촉매(HCl) 존재 하에서 온도변화에 따른 Cr(VI)-2-methylpyrazine과 치환 벤질 알코올류($p\text{-CH}_3$, H, m-Br, m-NO₂)와의 산화반응 속도를 측정한 결과 ΔH^\ddagger 가 양의 값을, ΔS^\ddagger 가 음의 값을 보였다.
3. Hammett 반응상수(ρ) 값은 Cr(VI)-2-methylpyrazine = -0.65(308 K)를 나타났다.
4. Cr(VI)-2-methylpyrazine과 알코올의 산화반응 과정에서 먼저 크로메이트 에스테르 형성과정을 거친 후, 속도결정단계에서 수소화 전이가 일어나는 반응경로가 예상 된다.

References

- [1] K. K. Banerji, "Kinetic Study of the Oxidation of Substituted Benzyl Alcohols by Ethyl Chlorochromate", Bull. Chem. Soc. Japan, **61**, 5, pp. 1767-1771, 1988.
DOI: <http://dx.doi.org/10.1246/bcsj.61.1767>
- [2] J. F. Kuo, "Chromium(VI) Complexation with Triisooctylamine in Organic Solvents", Bull. Chem. Soc. Japan, **64**, 10, pp. 3059-3062, 1991.
DOI: <http://dx.doi.org/10.1246/bcsj.61.1767>
- [3] M. K. Mahanti, D. Dey, "Kinetics of Oxidation of Substituted Benzyl Alcohols by Quinolinium Dichromate", J. Org. Chem., **55**, 23, pp. 5848-5850, 1990.
DOI: <http://dx.doi.org/10.1021/jo00310a015>
- [4] M. K. Mahanti, "Kinetics of Oxidation of Nitrotoluenes by Acidic Hexacyanoferrate(III)", Bull. Korean Chem. Soc., **4**, 3, pp. 120-123, 1983.
- [5] G. P. Panigrahi, "Michaelis-Menten Behaviour in the Oxidation of Benzaldehydes by Pyridinium Chlorochromate", Bull. Korean Chem. Soc., **13**, 5, pp. 547-550, 1992.
- [6] M. K. Mahanti, B. Kuotsu, E. Tiewsoh, "Quinolinium Dichromate Oxidation of Diols: A Kinetics Study", J. Org. Chem., **61**, 25, pp. 8875-8877, 1996.
DOI: <http://dx.doi.org/10.1021/jo961079m>
- [7] H. B. Davis, R. M. Sheets, W.W. Pandler, "High Valent Chromium Heterocyclic Complexes-II: New Selective and Mild Oxidants", Heterocycles, **22**, 9, pp. 2029-2035, 1984.
DOI: <http://dx.doi.org/10.3987/R-1984-09-2029>
- [8] M. R. Pressprich, R. D. Willett, H. B. Davis, "Preparation and Crystal Structure of Dipyrazinium Trichromate and Bond Length Correlation for Chromate Anions of the Form $\text{Cr}_n\text{O}_{3n+1}^{2-}$ ", Inorg. Chem., **27**, 2, pp. 260-264, 1988.
DOI: <http://dx.doi.org/10.1021/ic00275a009>
- [9] M. H. Cho, J. H. Kim, H. B. Park, "Kinetic Study of Macroyclic Ligand-Metal Ion Complexes", J. Korean Chem. Soc., **33**, 4, pp. 366-370, 1989.
- [10] G. D. Yadav, "Mechanistic and Kinetic Investigation of Liquid-Liquid Phase Transfer Catalyzed Oxidation of Benzyl Chloride to Benzaldehyde", J. Phys. Chem., **101**, 1, pp. 36-48, 1997.
DOI: <http://dx.doi.org/10.1021/jp961678x>
- [11] M. K. Mahanti, "Kinetics and Mechanism of the Oxidative Cleavage of Unsaturated Acids by Quinolinium Dichromate", Bull. Chem. Soc. Japan, **67**, 8, pp. 2320-2322, 1994.
DOI: <http://dx.doi.org/10.1246/bcsj.67.2320>
- [12] M. K. Mahanti, "Quinolinium Dichromate Oxidations Kinetics and Mechanism of the Oxidative Cleavage of Styrenes", J. Org. Chem., **58**, 18, pp. 4925-4928, 1993.
DOI: <http://dx.doi.org/10.1021/jo00070a031>
- [13] I. S. Koo, J. S. Kim, S. K. An, "Kinetic Studies on Solvolyses of Substituted Cinnamoyl Chlorides in Alcohol-Water Mixture", J. Korean Chem. Soc., **43**, 5, pp. 527-534, 1999.
- [14] R. Tayebee, "Simple Heteropoly Acids as Water Tolerant Catalysts in the Oxidation of Alcohols with 34% Hydrogen Peroxide, A Mechanistic Approach", J. Korean Chem. Soc., **52**, 1, pp. 23-29, 2008.
DOI: <http://dx.doi.org/10.5012/jkcs.2008.52.1.023>
- [15] R. Y. Sung, H. Choi, I. S. Koo, "Kinetic Studies on the Nucleophilic Substitution Reaction of 4-X-Substituted-2,6-dinitrochlorobenzene with Pyridines in MeOH-MeCN Mixtures", Bull. Korean Chem. Soc., **30**, 7, pp. 1579-1582, 1988
- [16] Y. S. Kim, H. Choi, I. S. Koo, "Kinetics and Mechanism of Nucleophilic Substitution Reaction of 4-Substituted-2,6-dinitrochlorobenzene with Benzylamines in MeOH-MeCN Mixtures", Bull. Korean Chem. Soc., **31**, 11, pp. 3279-3282, 2010.
DOI: <http://dx.doi.org/10.5012/bkcs.2010.31.11.3279>
- [17] M. H. Cho, J. H. Kim, and H. B. Park, "Kinetic Study of Macroyclic Ligand-Metal Ion Complexes", J. Korean Chem. Soc., **33**, pp. 366-371, 1989.
- [18] G. D. Yadav, "Mechanistic and Kinetic Investigation of Liquid-Liquid Phase Transfer Catalyzed Oxidation of Benzyl Chloride to Benzaldehyde", J. Phys. Chem., **101**, pp. 36-40, 1997.
- [19] M. K. Mahanti, "Kinetics and Mechanism of the Oxidative Cleavage of Unsaturated Acids by Quinolinium Dichromate", Bull. Chem. Soc. Japan, **67**, pp. 2320-2324, 1994.
- [20] D. Richard and Gilliom, Physical Organic Chemistry", pp. 169-180, 1992.
- [21] M. K. Mahanti, "Quinolinium Dichromate Oxidations Kinetics and Mechanism of the Oxidative Cleavage of Styrenes", J. Org. Chem., **58**, pp. 4925-4928, 1993.
DOI: <http://dx.doi.org/10.1021/jo00070a031>

김 영 식(Young-Sik Kim)

[정회원]



- 1979년 2월 : 충북대학교 대학원 화학공학과 (공학석사)
- 1989년 2월 : 충북대학교 대학원 화학공학과 (공학박사)
- 1996년 8월 ~ 1997년 8월 : 영국 Strathclyde Univ. 방문교수
- 2010년 2월 ~ 2011년 2월 : 미국 Eastern Michigan Univ. 방문교수
- 2011년 11월 ~ 현재 : 한국가스안전공사 비상임이사
- 1982년 2월 ~ 현재 : 강원대학교 화학공학과 교수

<관심분야>

레올로지, 분리정제, 정밀화학

박 영 조(Young-Cho Park)

[정회원]



- 1993년 8월 : 경남대학교 대학원 화학과 (이학박사)
- 1995년 3월 ~ 2007년 2월 : 부산대학교 밀양캠퍼스 강사
- 2008년 9월 ~ 2009년 8월 : 강원대학교 삼척캠퍼스 겸임교수
- 2009년 8월 ~ 현재 : 강원대학교 삼척캠퍼스 강사

<관심분야>

반응속도론, 정밀화학